

1/21

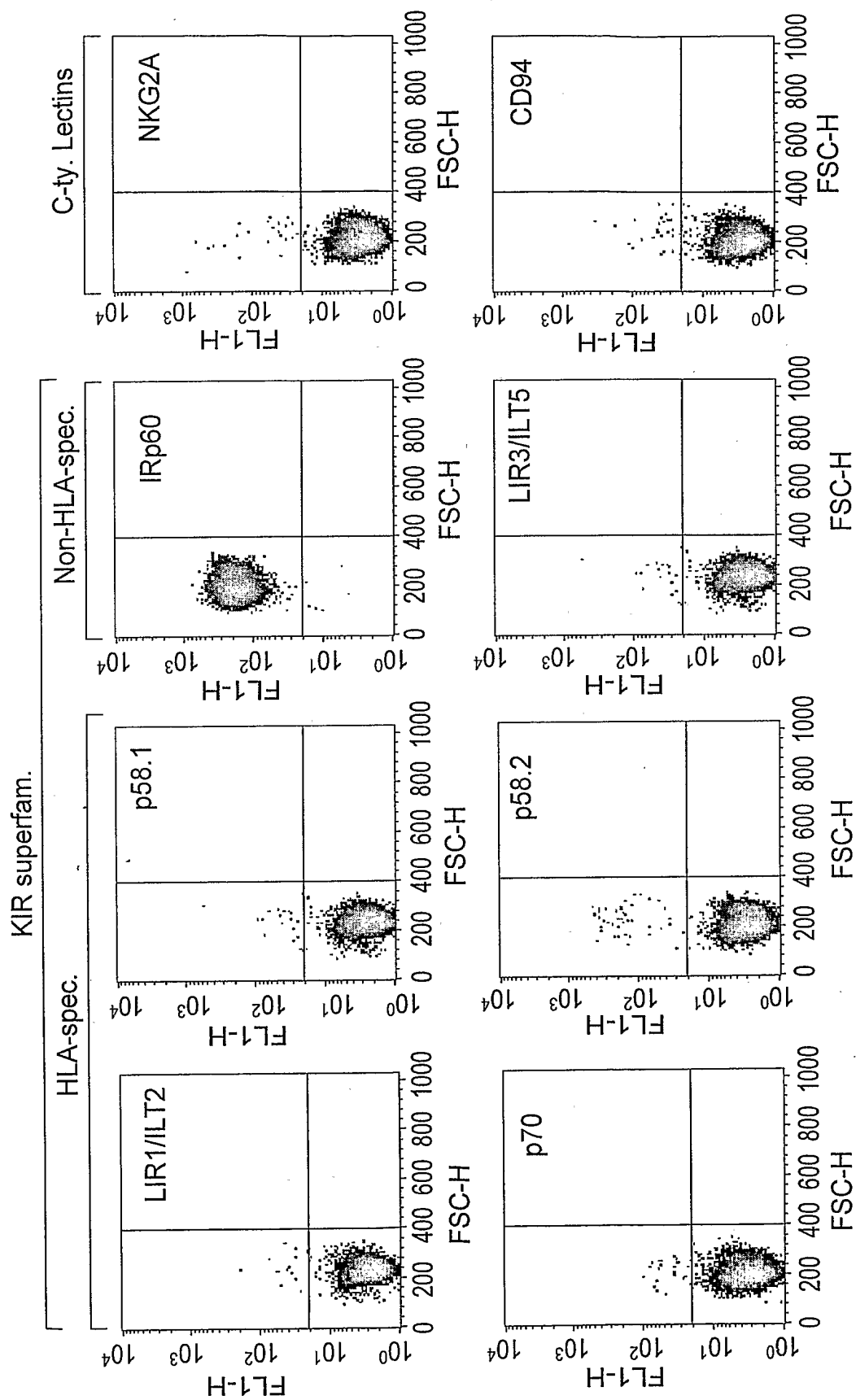


Fig. 1

2/21

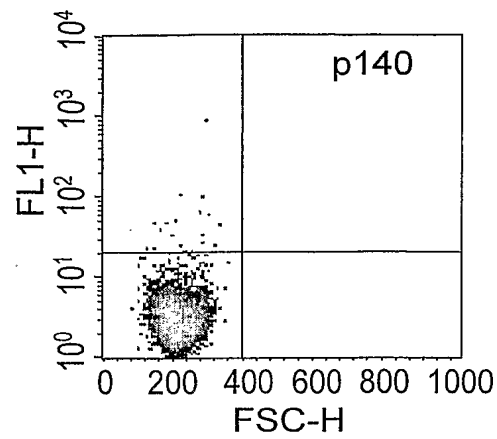


Fig. 1 (cont.)

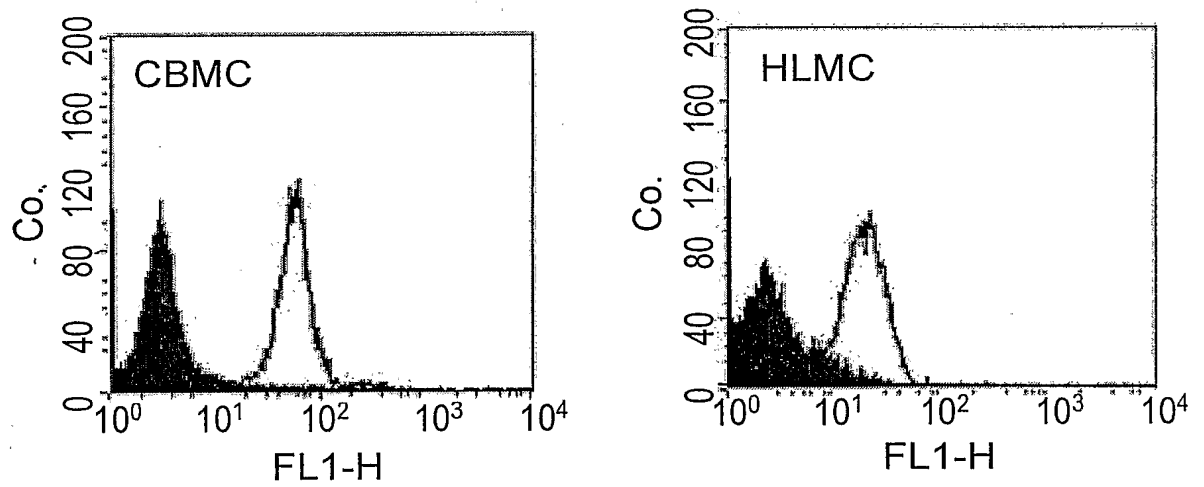


Fig. 2A

3/21

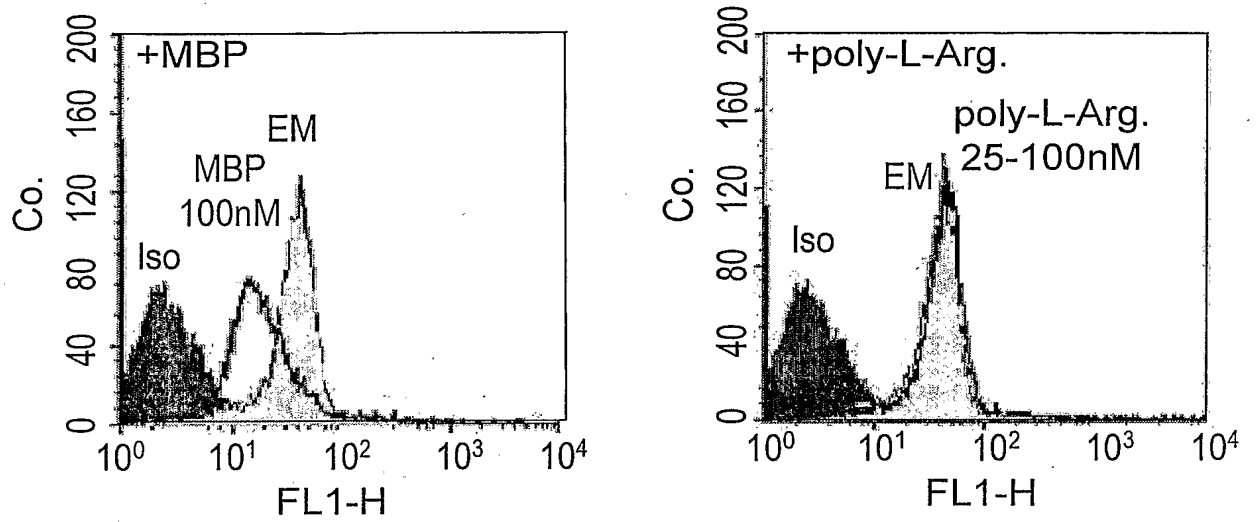


Fig. 2B

4/21

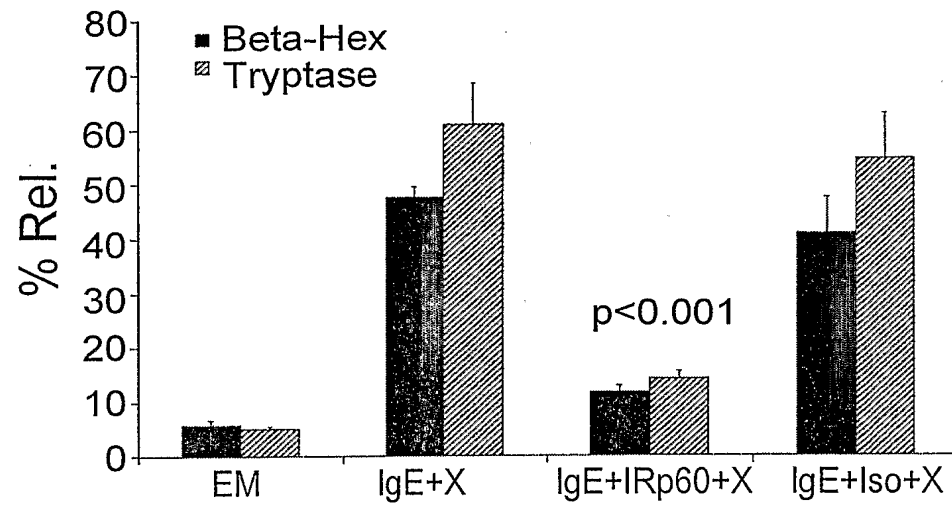


Fig. 3A

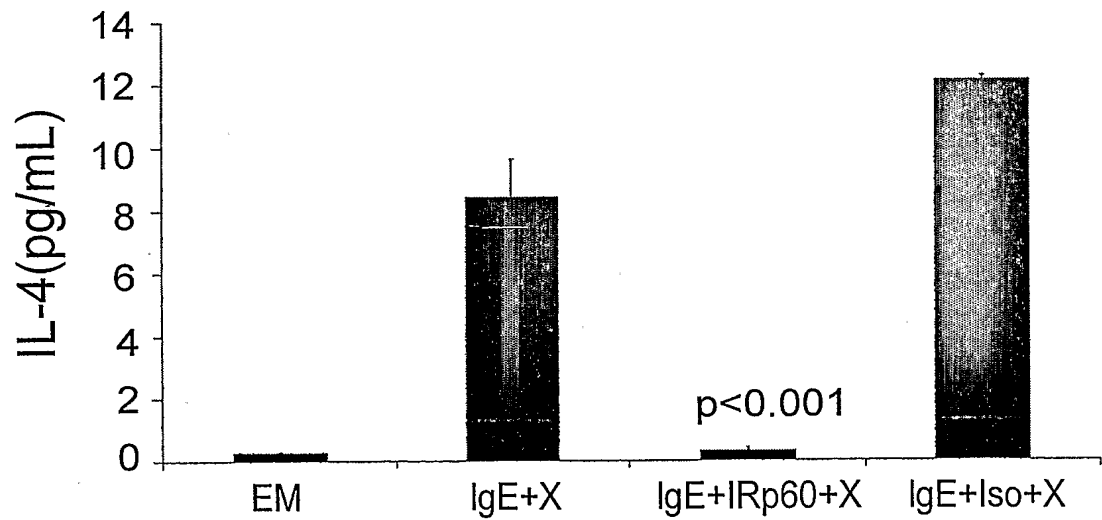


Fig. 3B

5/21

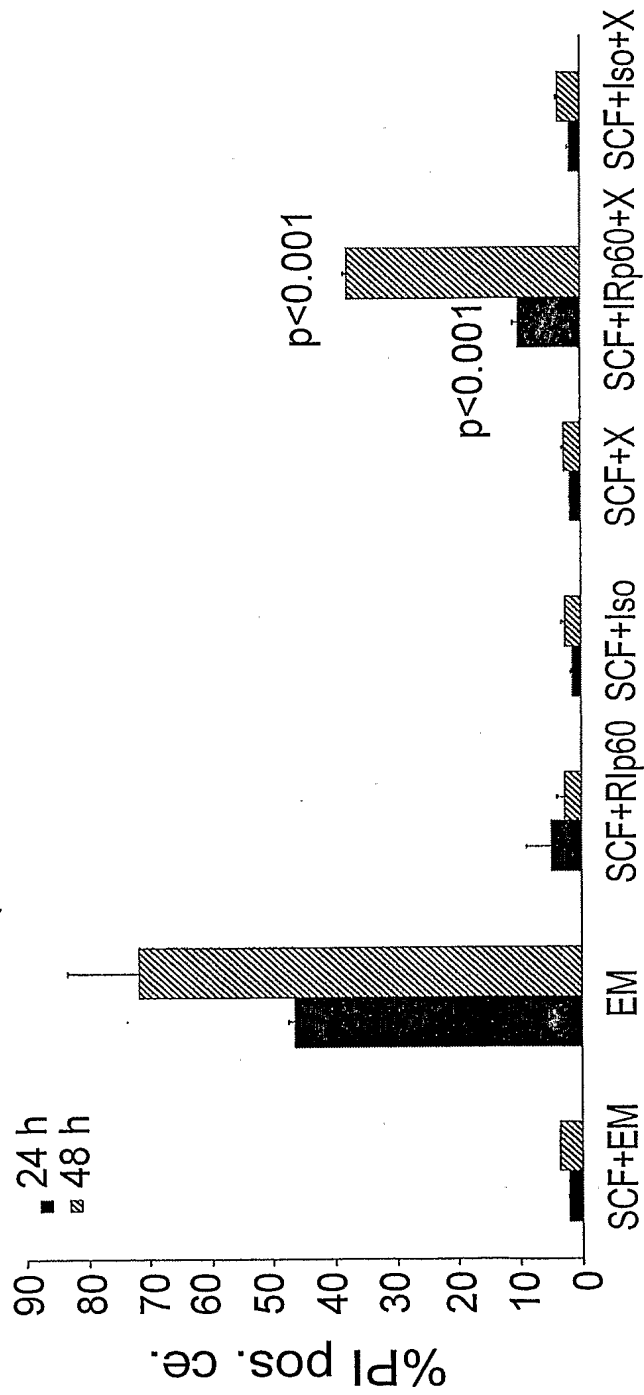


Fig. 4

6/21

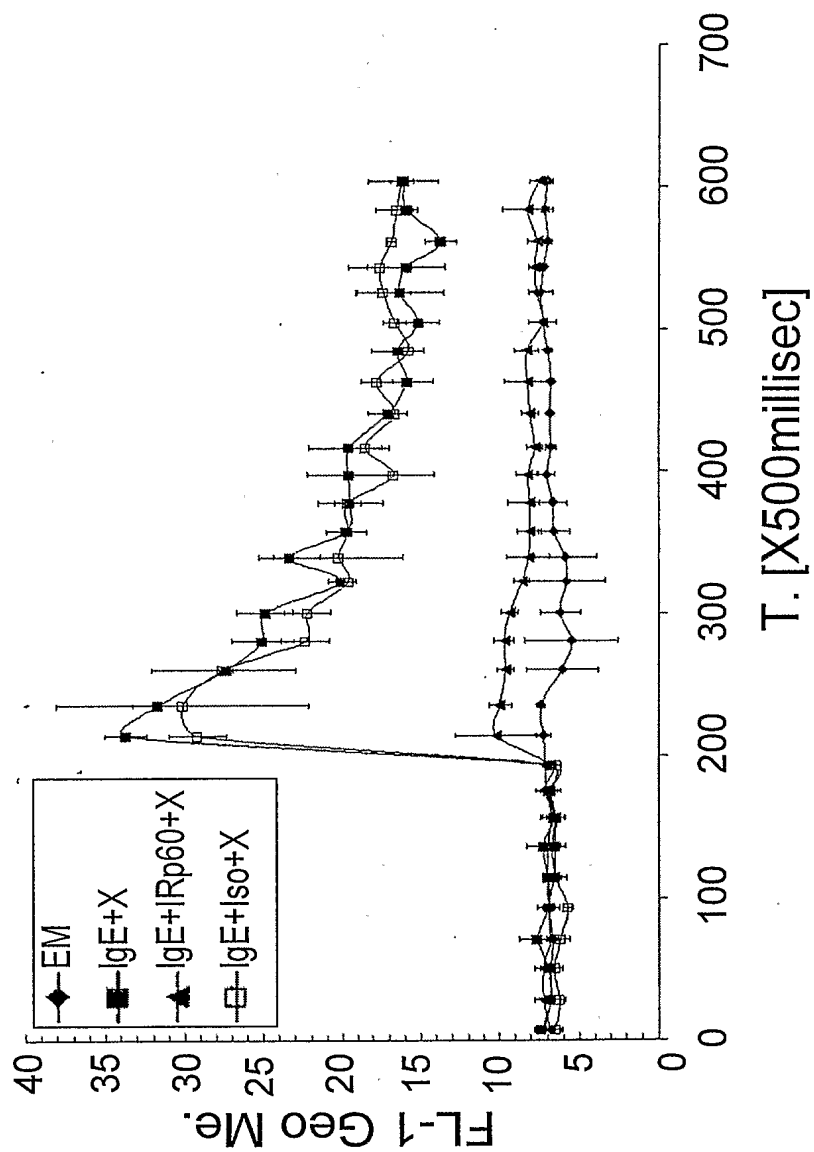


Fig. 5

7/21

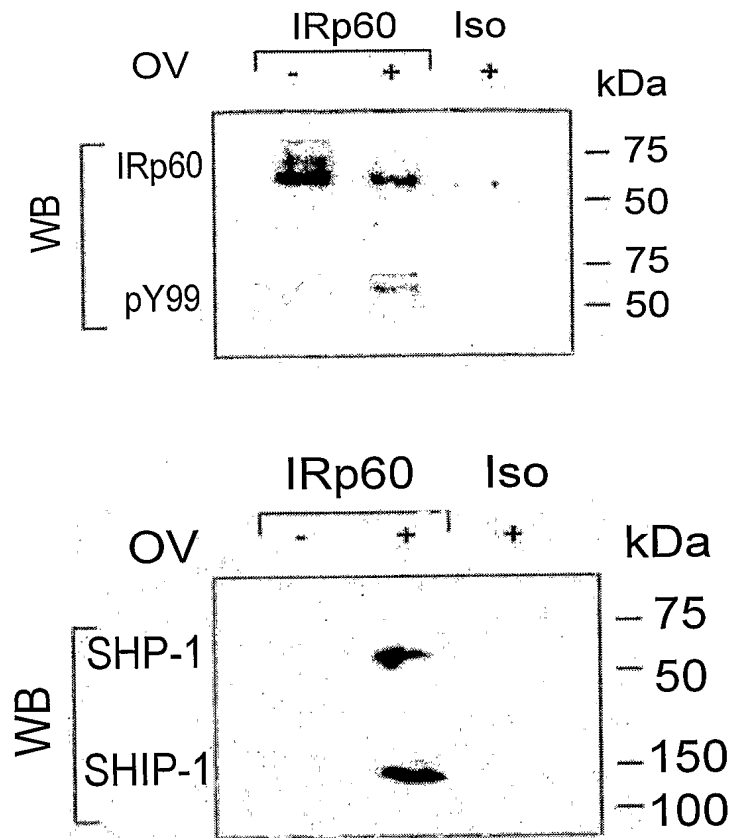


Fig. 6A

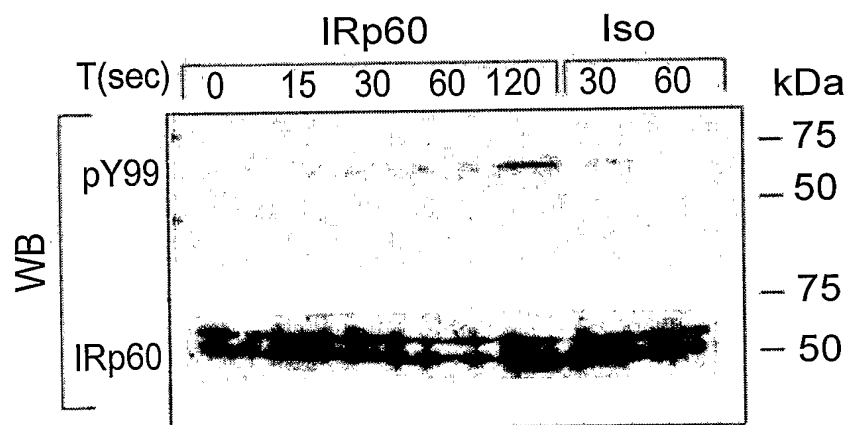


Fig. 6B

8/21

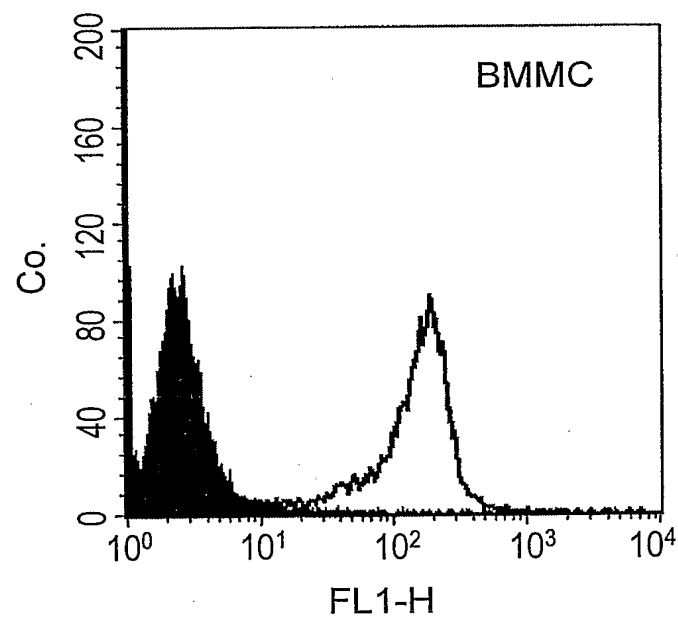
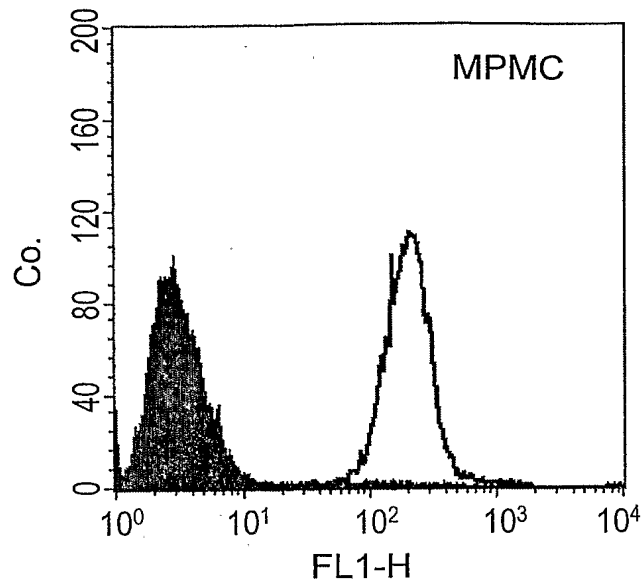


Fig. 7



9/21

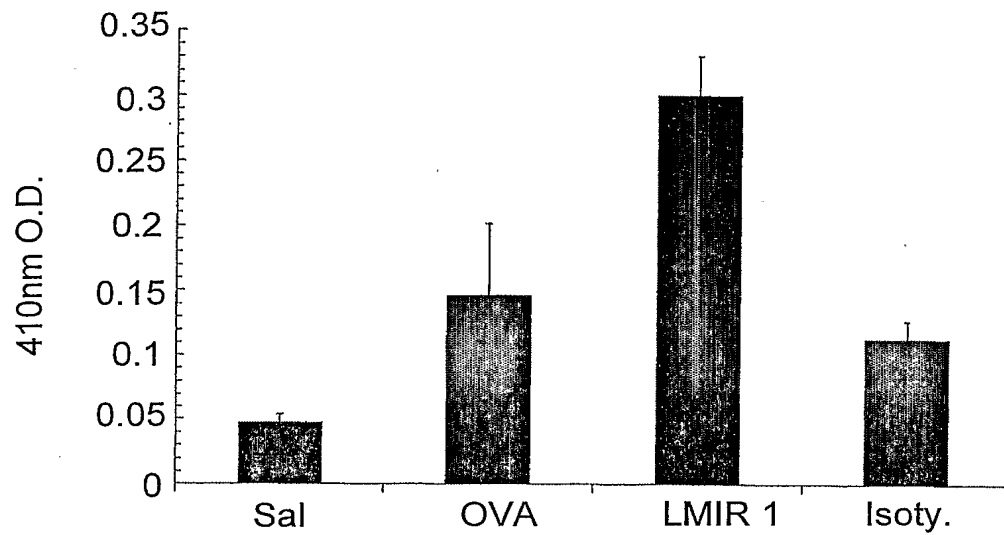


Fig. 8A

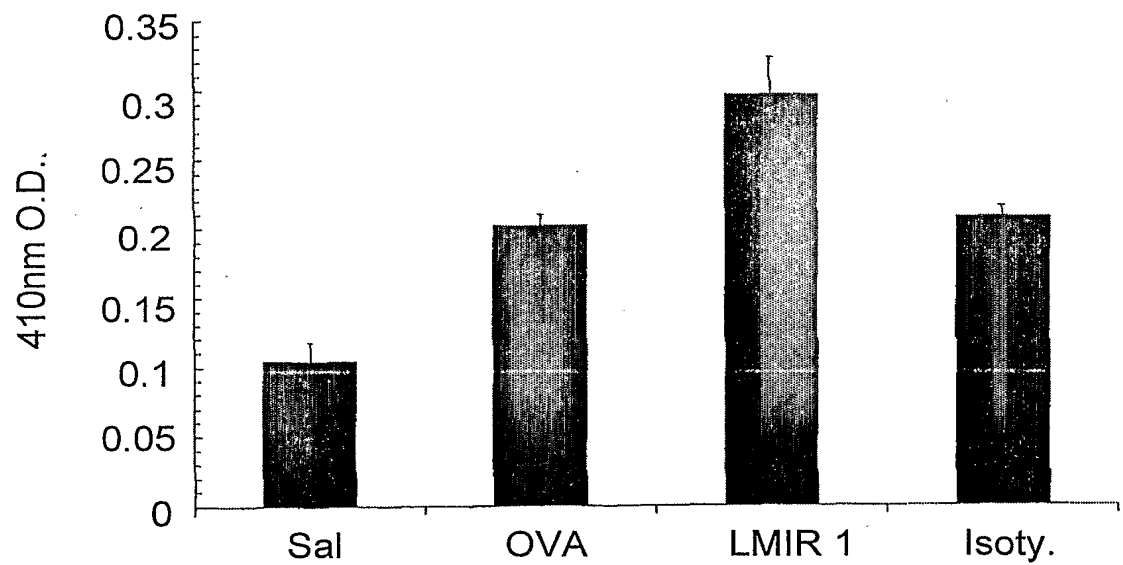


Fig. 8B

10/21

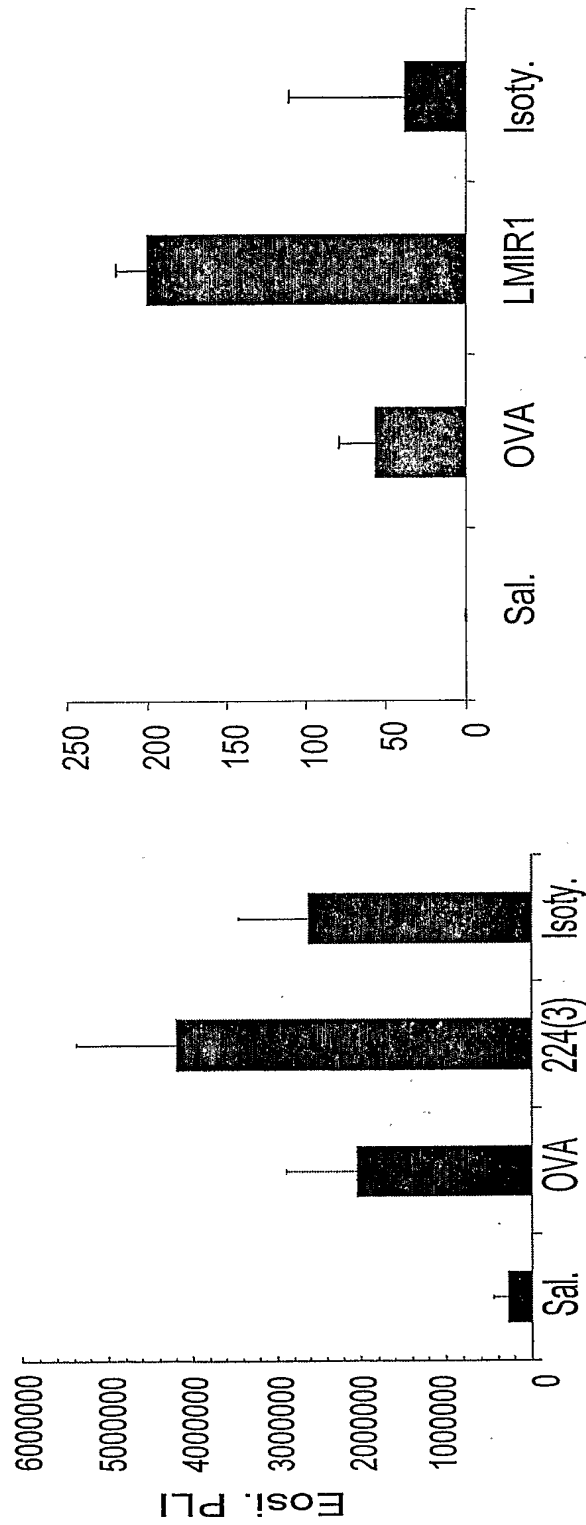


Fig. 8D

Fig. 8C

11/21

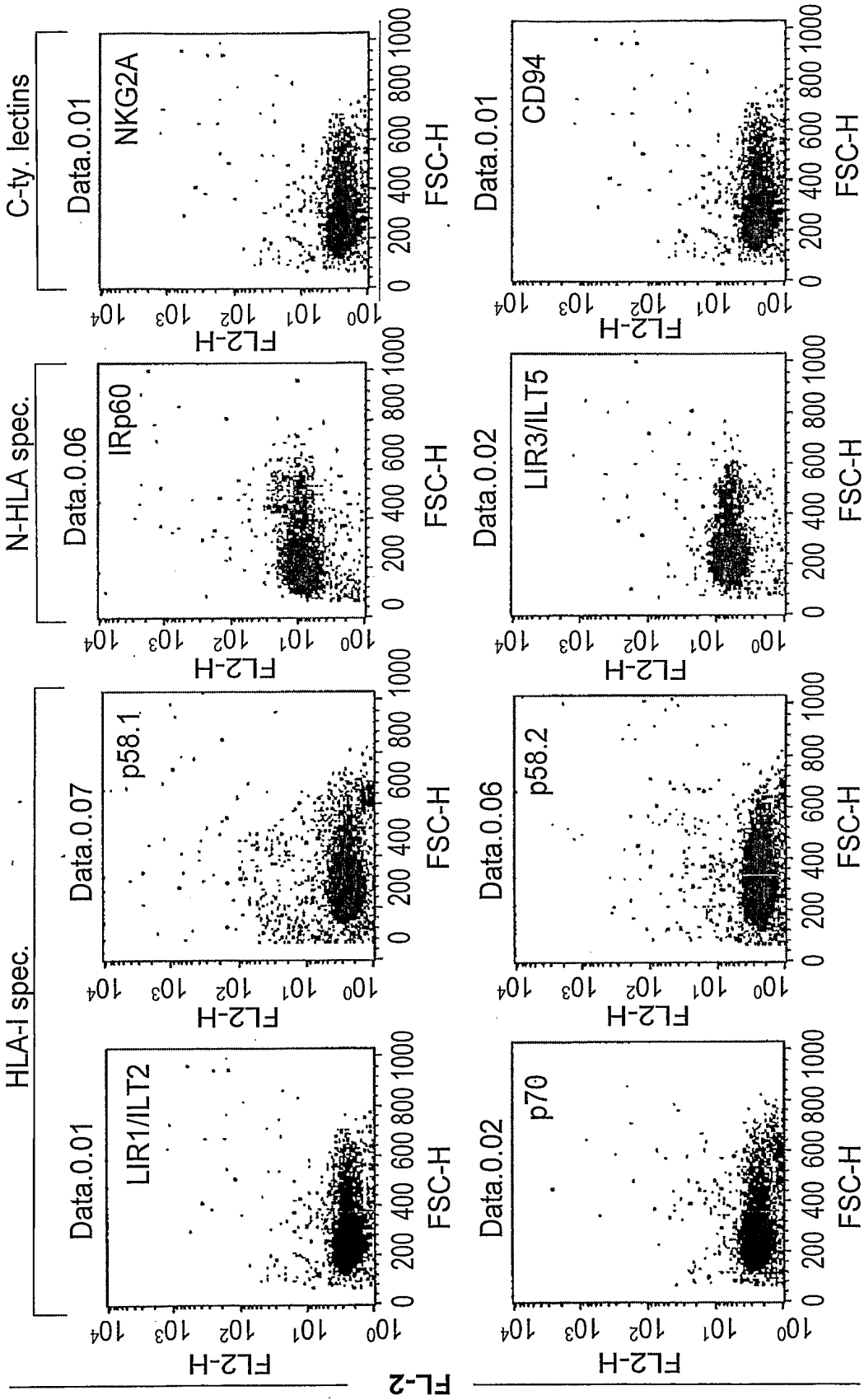


Fig. 9A

12/21

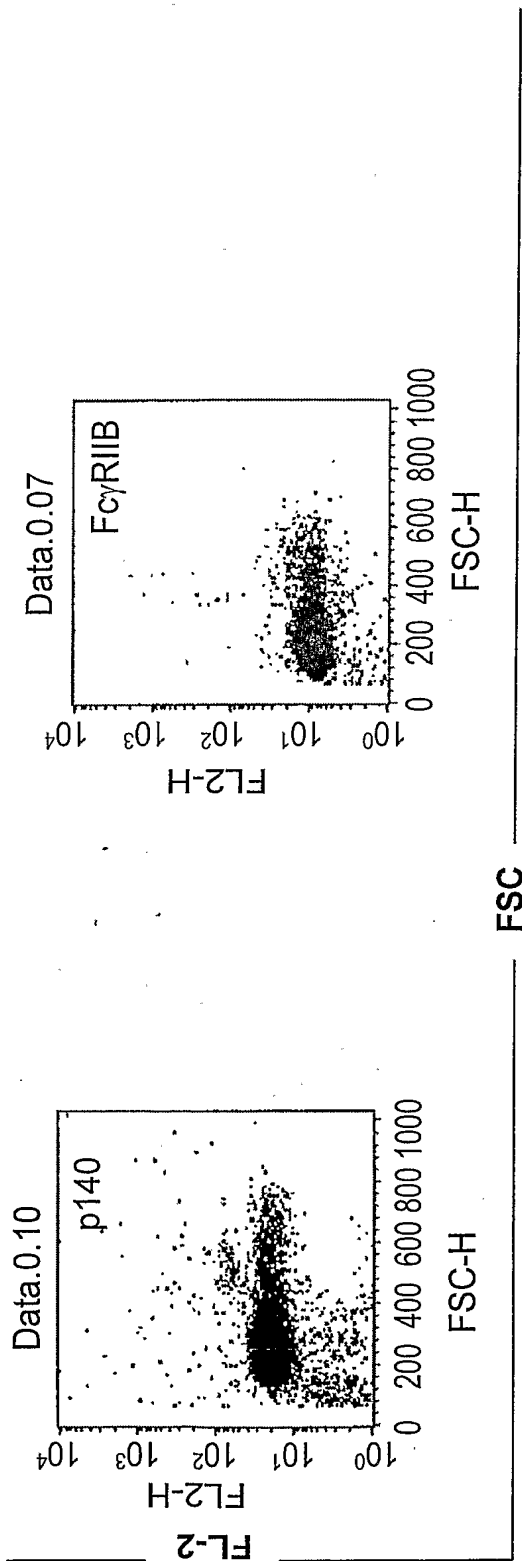


Fig. 9A (cont.)

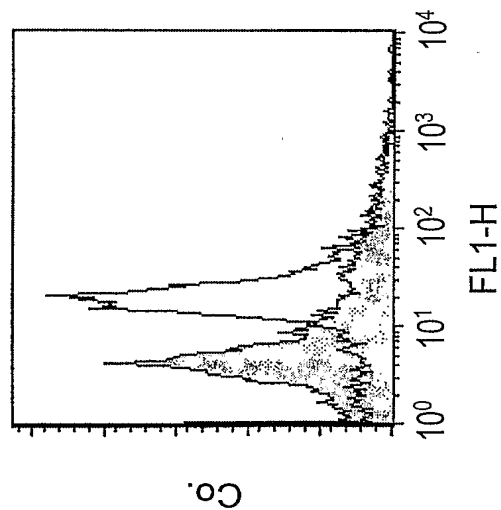


Fig. 9B

13/21

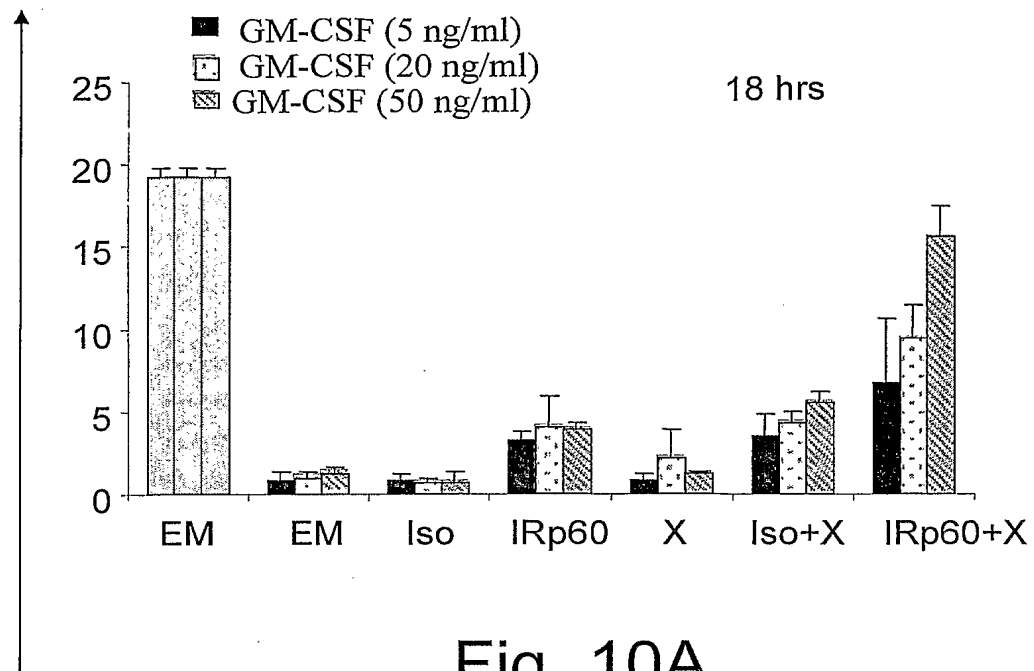


Fig. 10A

% apopt. ce.

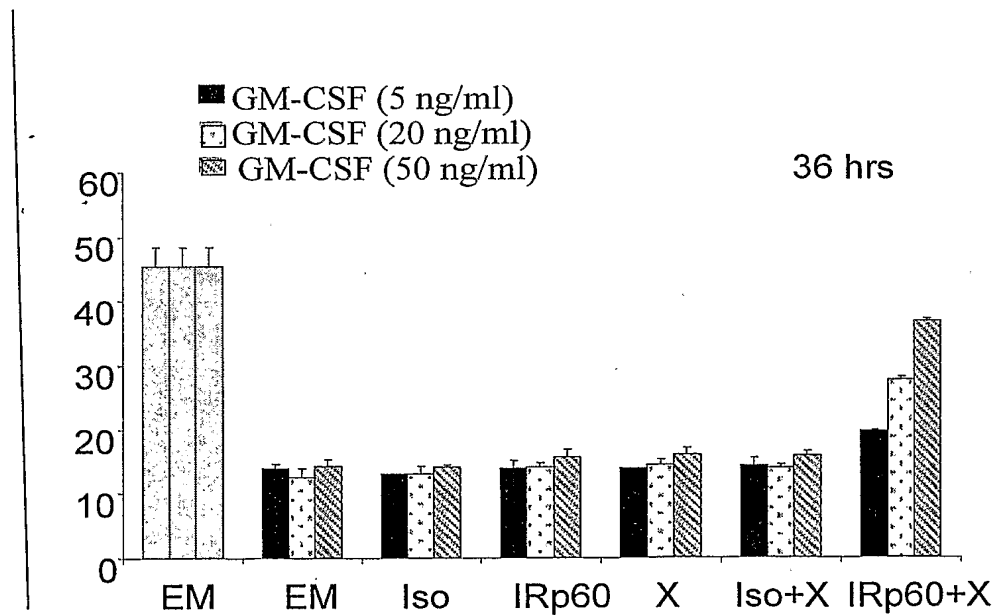


Fig. 10B

14/21

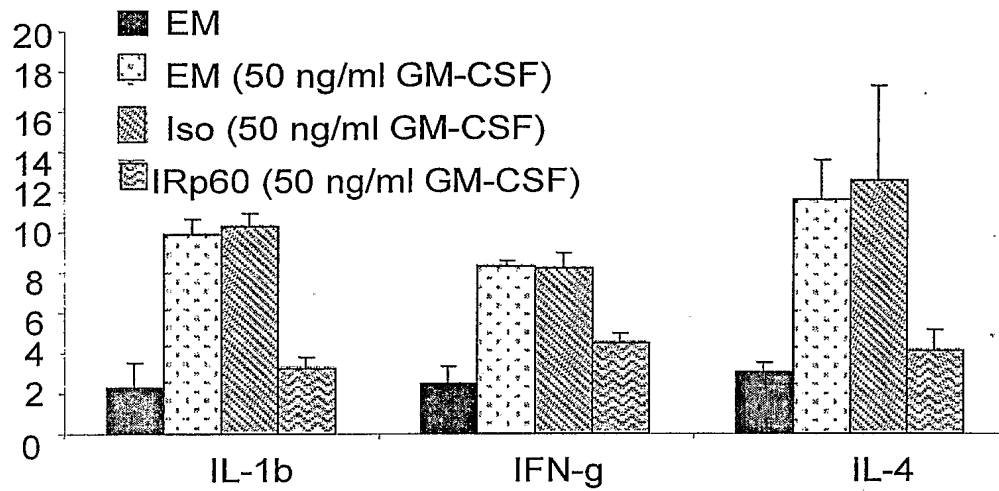


Fig. 11A

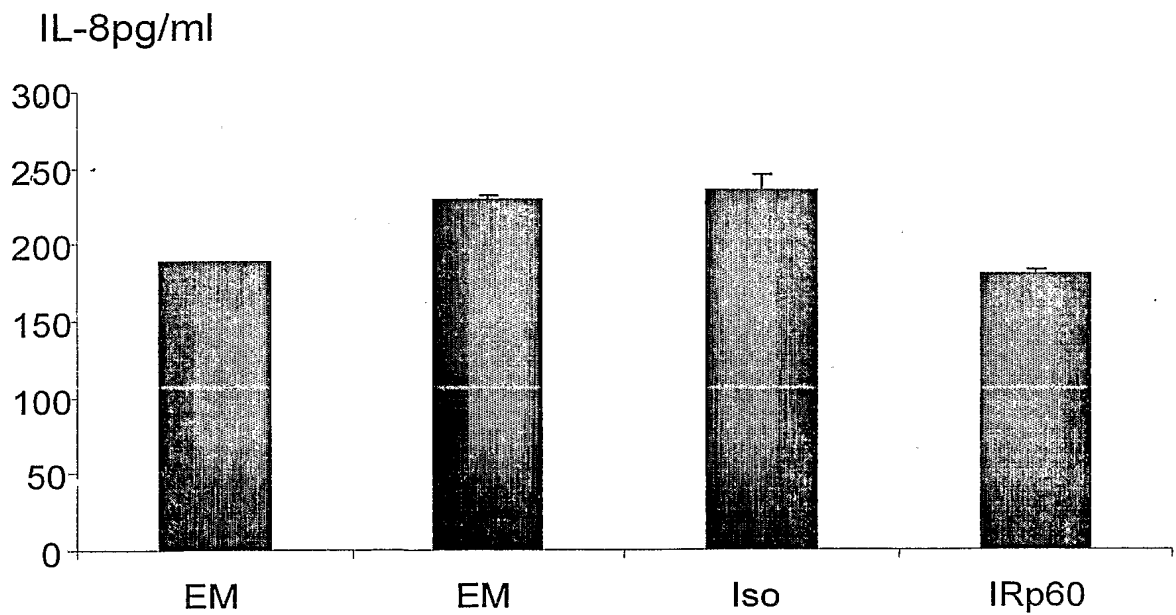


Fig. 11B

15/21

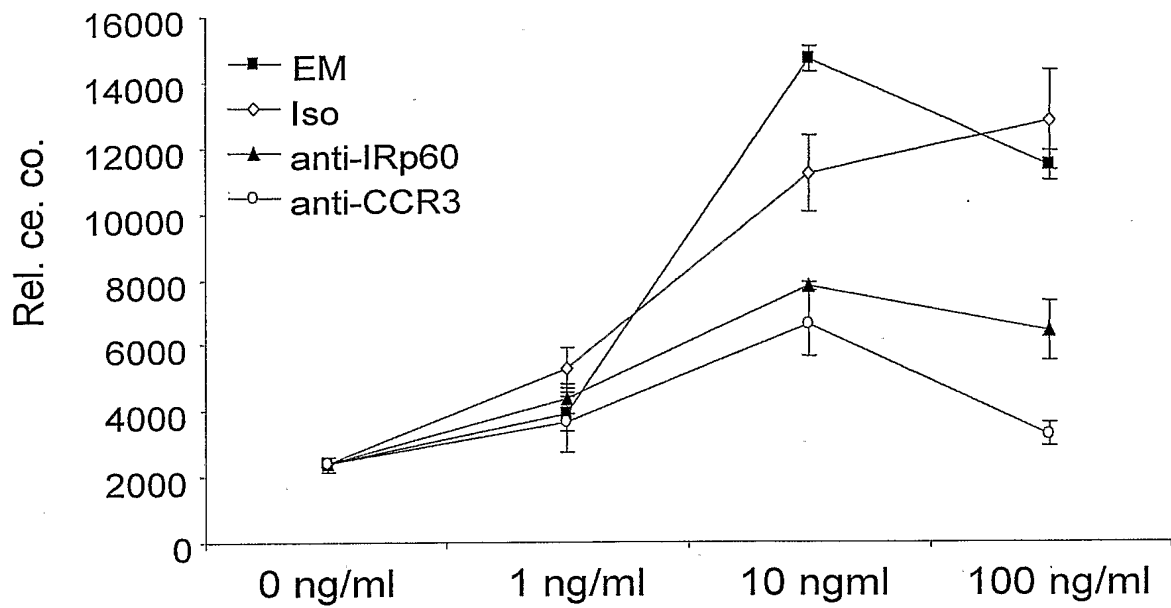


Fig. 12A

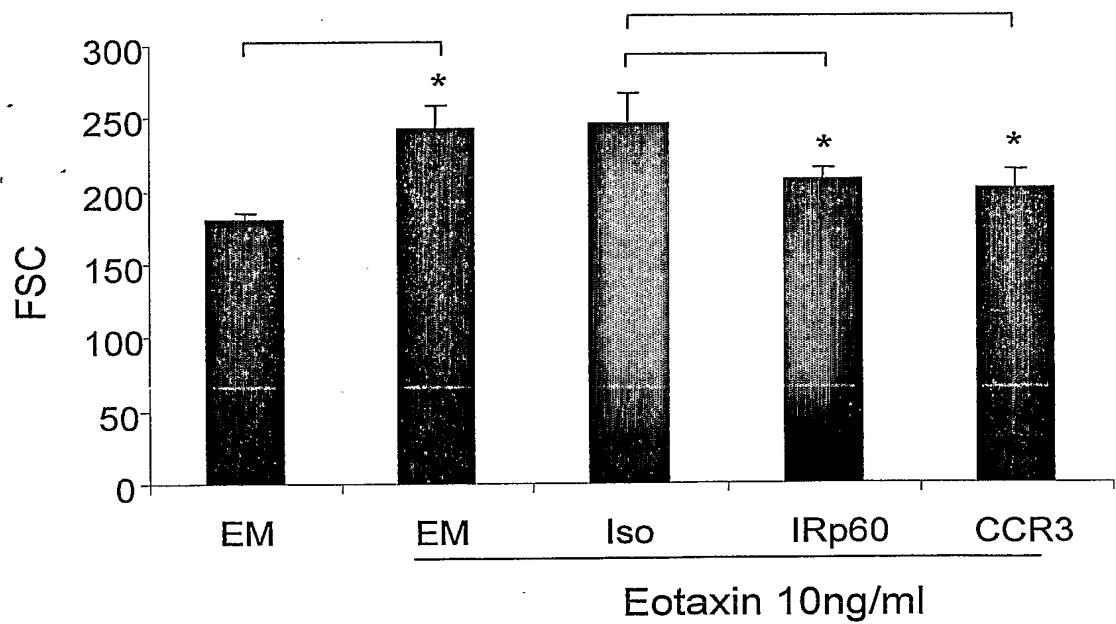


Fig. 12B

16/21

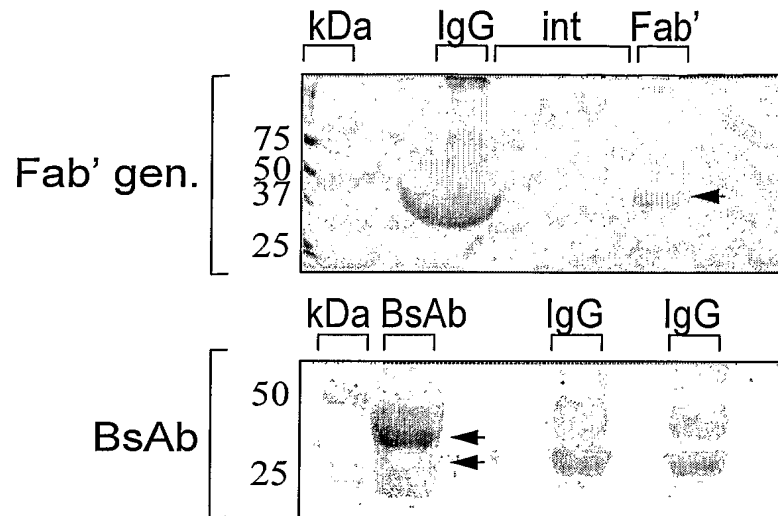


Fig. 13A

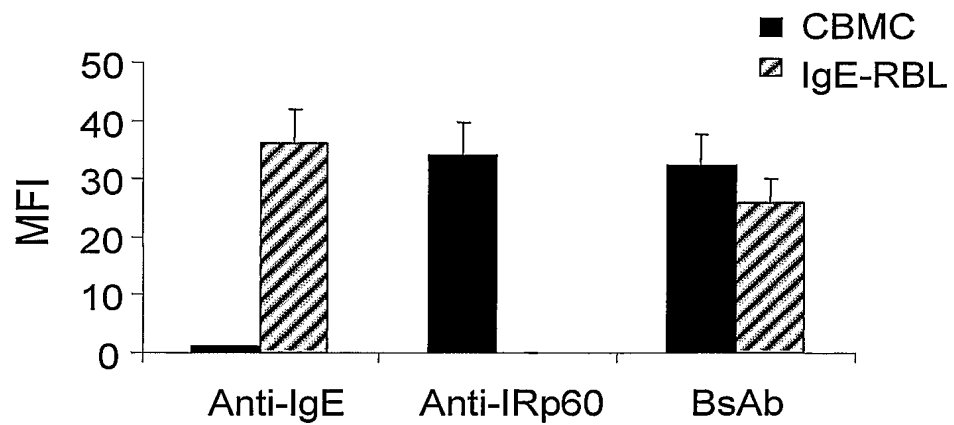


Fig. 13B



17/21

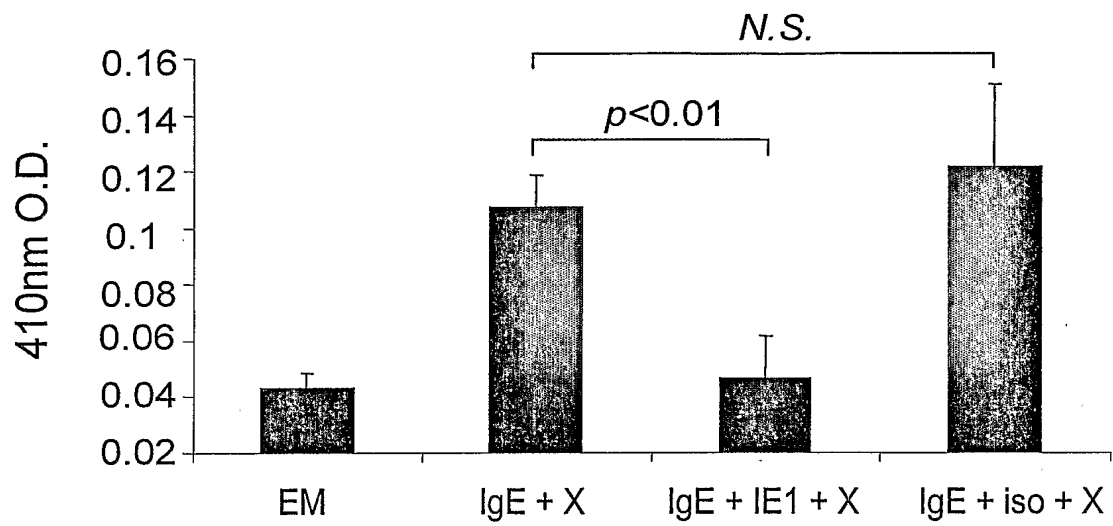


Fig. 14

18/21

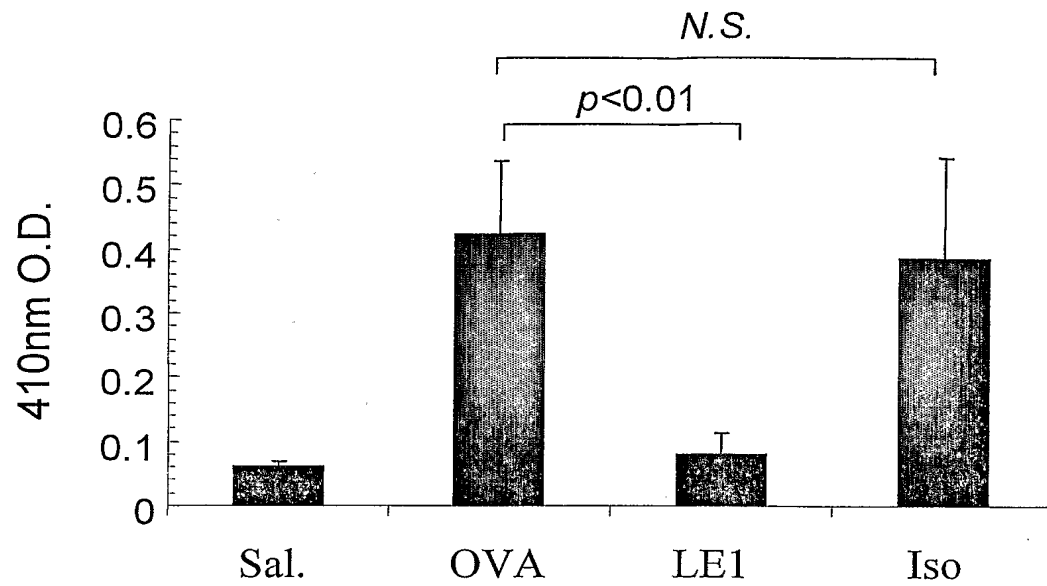


Fig. 15A

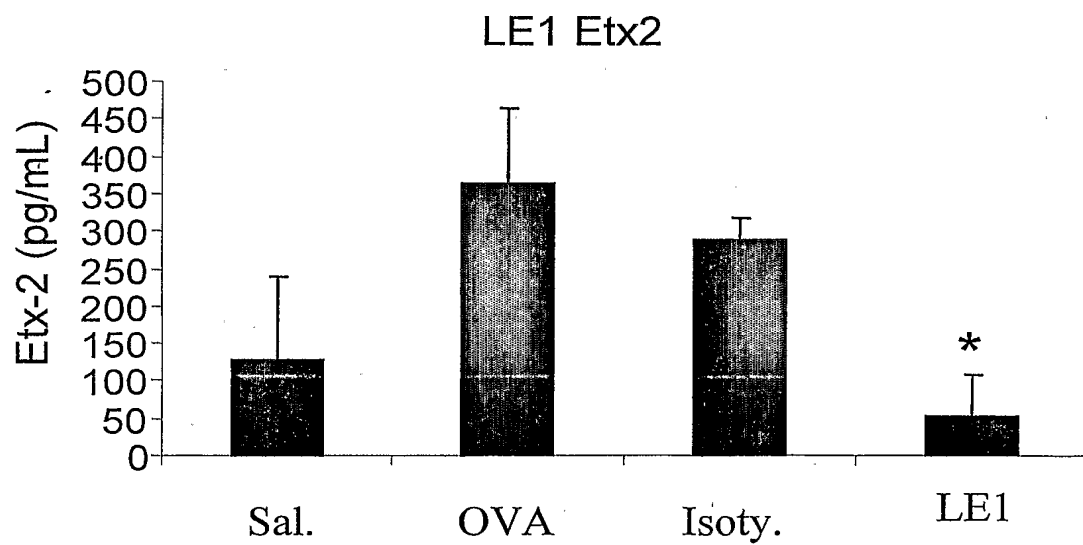


Fig. 15B

19/21

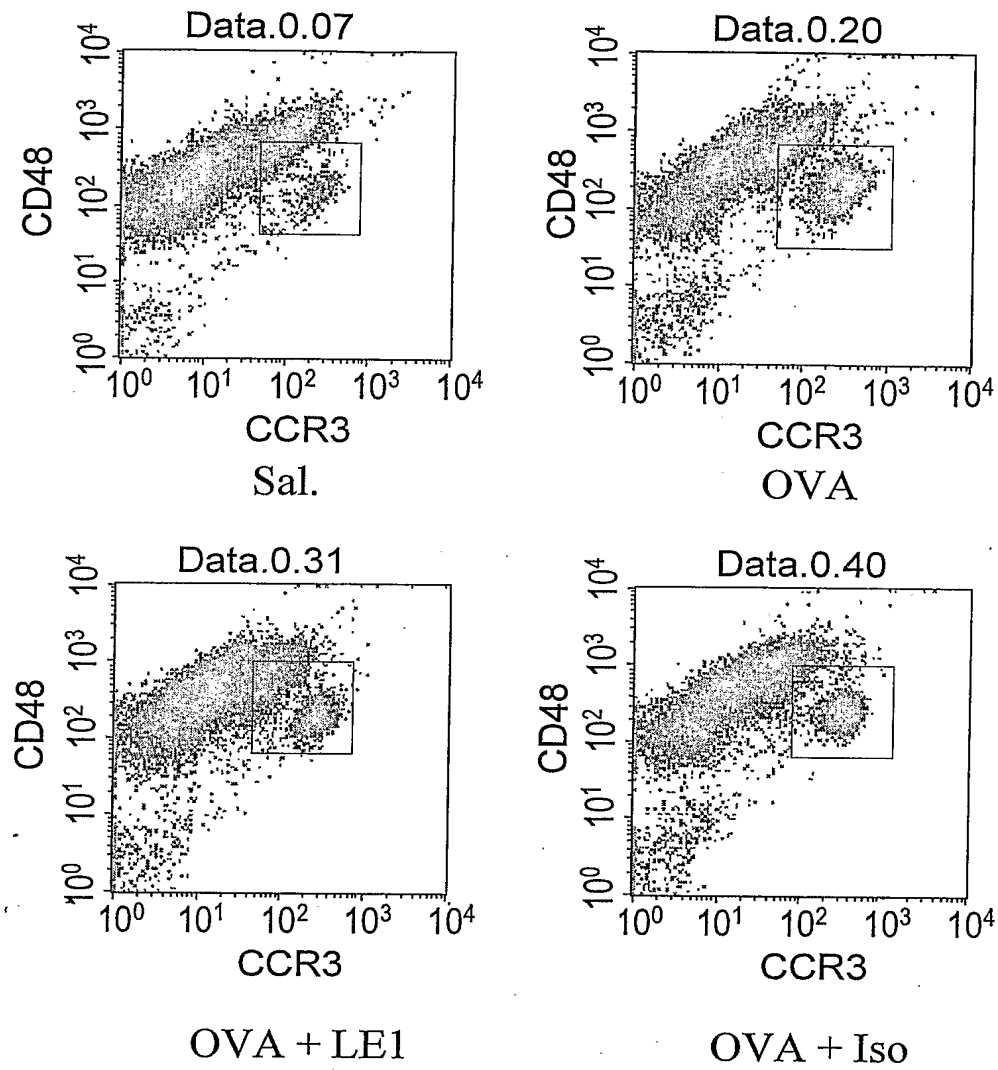


Fig. 16A

20/21

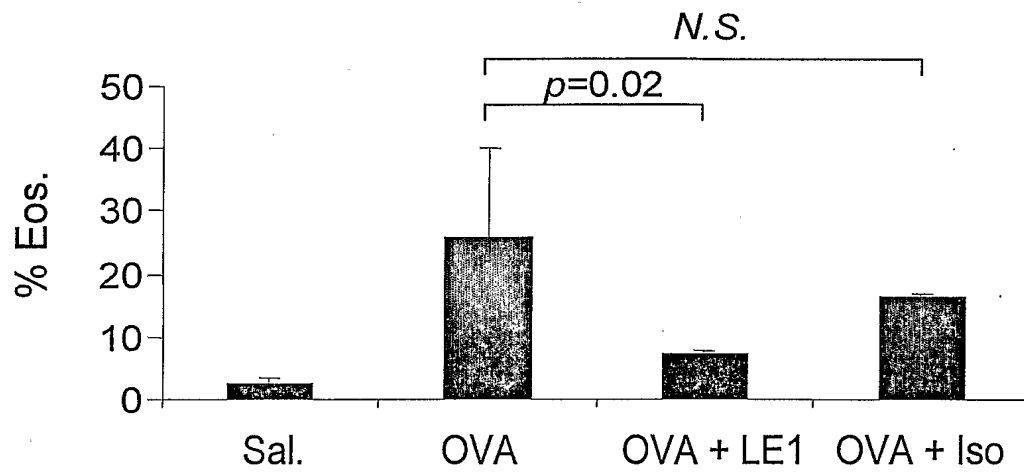


Fig. 16B

21/21

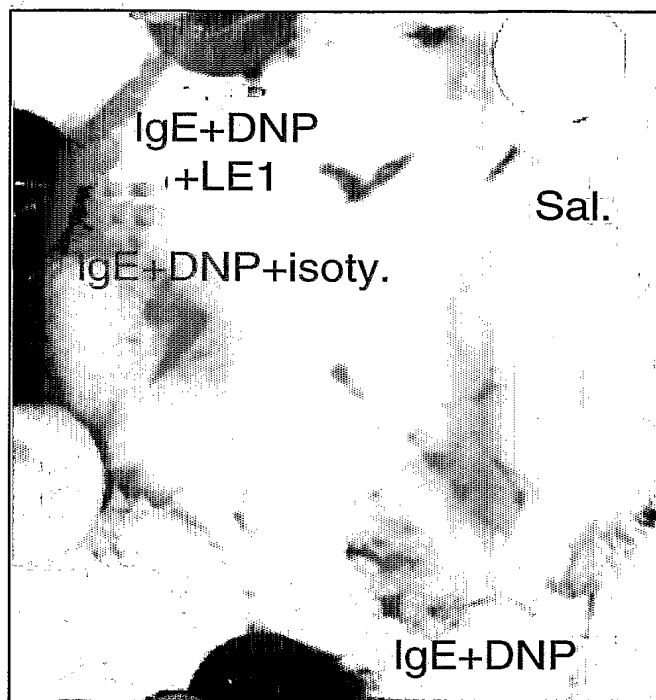


Fig. 17A

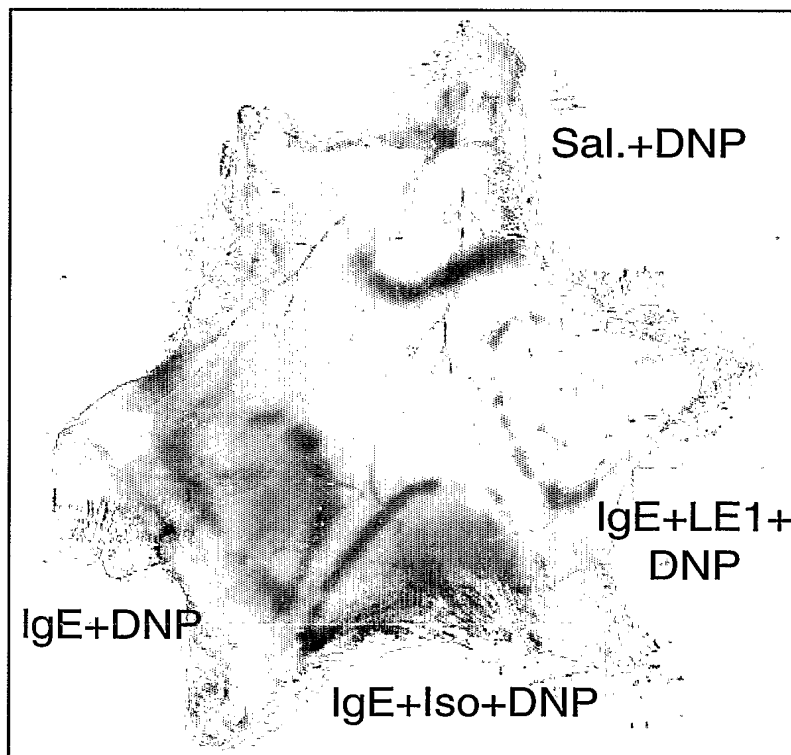


Fig. 17B